

pa joj jedinica u MKSA sistemu

$$\mu_u = N/A^2.$$

Ova ista jedinica se češće naziva *Henri po metru* i označava sa H/m (Henr je jedinica induktivnosti i o njoj će biti govor u čl.1.). U vakuumu magnetna permeabilnost iznosi

$$\mu_0 = 4\pi \cdot 10^{-7} \text{ H/m.}$$
 (2.6)

Brojna vrednost konstante μ_0 se može, bar u principu, odrediti na osnovu mernega postupaka za mernje konstante μ_0 koji se zasniva na mernju elektromagnetske sile, bice opisan u čl.2.4.

2.1.1. Magneto polje nadelektrisanja u kretanju

Magneto polje koje okružava provodnike sa strujom ustvari je rezultat superpozicije magnetskih polja pojedinih elementarnih nadelektrisanja koja svojin kretanjem obrazuju električnu struju. Izraz za magnetnu indukciju jednog nadelektrisanja u kretanju se može lako dobiti iz obrazca (2.4) za polje jednog strujnog elementa:

$$\frac{\mu_0}{4\pi} \frac{Idl \times \hat{r}}{r^2}.$$

Postupak je sličan onome koji je upotrebljen prilikom izvođenja izraza za Lorentzovu elektrognetu silu. Posto je $\vec{J} = N'Q_e\vec{v}$, može se pisati

$$Idl = \vec{J}Sdl = \vec{J}dV = N'Q_e\vec{v}dV,$$

odnosno

$$Idl = nQ_e\vec{v},$$

gde je $n=N'/dV$ broj pokretnih nadelektrisanja u elementarnoj zapremini $dV=Sdl$.

Prema tome, magnetna indukcija sto potiče od svih n pokretnih nadelektrisanja koja se trenutno nalaze u elementarnoj zapremini dV je data izrazom

$$\frac{\mu_0}{4\pi} \frac{nQ_e\vec{v} \times \hat{r}}{r^2}.$$

Magnetna indukcija od jednog jedinog pokretnog nadelektrisanja je

$$\vec{B} = \frac{\mu_0}{4\pi} \frac{Q_e\vec{v} \times \hat{r}}{r^2}. \quad (2.7)$$

Slika 2.4

Vektor \vec{B} je upravan na ravan što je obrazuju vektor brzine \vec{v} i radijus-poteg posmatrane tačke M u odnosu na trenutni položaj pokretnog nadelektrisanja, a smjer je za pozitivno nadelektrisanje određen po pravilu desne zavojnice (slika 2.3). Brzina \vec{v} predstavlja brzinu nadelektrisanja u odnosu na posmatraca, odnosno na instrument za merenje indukcije.

Slika 2.3

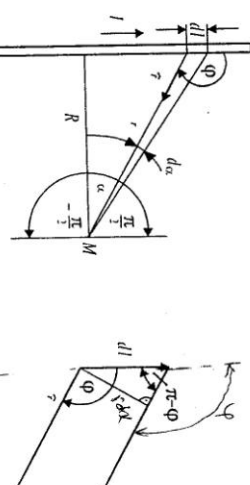
2.2. Primeri primene Bio-Savarovog zakona

2.2.1. Magneto polje beskonačno duge prave struje nitи

Kao prvo, применено Bio-Savarov zakon (2.4) da bismo izračunali magnetnu indukciju što je stvara struja u beskonačno dugom, tankom i pravom provodniku. Dobijeni rezultat mora biti u skladu sa eksperimentalno dobijenim zakonom (2.1), a omogućiti da se uspostavi veza između konstante proporcionalnosti k i magnetne permeabilnosti μ_0 .

Na slici 2.4 je prikazan sa svim potrebnim oznakama vrlo dug, prav i tanak provodnik u kome se ima struja jačine I . Magnetnu indukciju čemo računati u tački M koja se nalazi na odstojanju R od provodnika. Posto su svi strujni elementi l/dl kolinearni i leže u ravni crteža, to će elementarnje indukcije $d\vec{B}$ u tački M takođe biti kolinearni vektori, normalni na ravan crteža, a smjer im je određen po pravilu desne zavojnice u odnosu na smer struje u provodniku. Zbog toga se, prilikom izračunavanja rezultujuće indukcije \vec{B} , vektorsko sabiranje elementarnih indukcija može zameniti algebarskim sabiranjem. Prema tome, intenzitet rezultujuće indukcije je

$$B = \frac{\mu_0}{4\pi} \int_{-\infty}^{+\infty} \frac{dl \sin \varphi}{r^2}. \quad (2.8)$$



Slika 2.4

Integraljenje treba protegnuti duž celog beskonačnog provodnika, tj. od $l=-\infty$ do $l=+\infty$.

Iz geometrijskih odnosa na slici 2.4 izlazi da je

$$dl \sin \varphi = r d\alpha \quad \text{i} \quad r = \frac{R}{\cos \alpha},$$

paje

$$B = \frac{\mu_0 I}{4\pi} \int_{-\pi/2}^{\pi/2} \frac{\cos \alpha d\alpha}{R} = \frac{\mu_0 I}{4\pi R} \left[\sin \alpha \right]_{-\pi/2}^{\pi/2},$$

odnosno

B = \frac{\mu_0 I}{2\pi R}. \quad (2.9)

Granice integrala $\alpha = -\pi/2$ i $\alpha = +\pi/2$ neće promjenjivice odgovaraju beskonacno udaljenim krajevima provodnika.

Rezultat (2.9) je u skladu sa (2.1), a konstanta proporcionalnosti k ima vrednost $\mu_0/2\pi$.

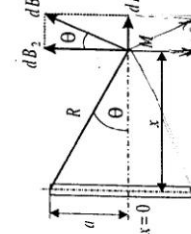
Kada $R \rightarrow 0$, indukcija teži beskonacno velikoj vrednosti. U stvarnosti, međutim, najmanja vrednost odstojanja R ne može biti manja od poluprečnika poprečnog preseka provodnika. O izračunavanju magnetske indukcije u unutrašnjosti provodnika kružnog preseka biće govor u čl.3.1.1.

2.2.2 Polje kružne strujine konture.

Poštovatljivo kružnu strujnu konturu intenziteta I i poluprečnika a (slika 2.5), pa izradujemo magnetsku indukciju u tačkama ose koja prolazi kroz centar konture i upravna je na njenu ravan. U tački M , koja se nalazi na odstojanju x od ravni konture a na odstojanju R od strujnog elementa dl , elementarna indukcija ima intenzitet

$$dB = \frac{\mu_0 I}{4\pi} \frac{dl}{R^2},$$

Slika 2.5



a pravac joj je normalan na poteg \vec{R} leži u ravni što je obrazuju poteg \vec{R} i osa konture. Da bi elementarnome indukcije, što potiče od raznih elemenata strujne konture, mogli lase sabirati, razložićemo ih na komponentu $d\vec{B}_1$ u pravcu ose konture i komponentu $d\vec{B}_2$, koja je upravna na osu. Pošto se komponente $d\vec{B}_2$, koje potiču od identičnih i diametralno suprotnih elemenata medusobno potisu, ostaju samo komponente

$$dB_1 = dB \sin \theta.$$

S obzirom na to da su R i θ isti za sve elemente strujne konture, nalazimo da je

$$B = \oint dB_1 = \frac{\mu_0 I}{4\pi R^2} \sin \theta \int dl = \frac{\mu_0 I}{4\pi R^3} \cdot \frac{a^2}{\sqrt{a^2 + x^2}} \cdot \frac{q}{\alpha}, \quad (2.10)$$

$$\rho = \sqrt{a^2 + x^2}$$

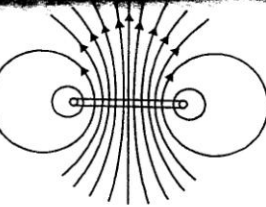
2. Magneto polje stacionarne struje u vakuumu

odnosno

B = \frac{\mu_0 I \sin^3 \theta}{2 a} = \frac{\mu_0 I}{2} \frac{a^2}{(a^2 + x^2)^{3/2}}. \quad (2.11)

Izračunavanje indukcije van ose predstavlja znato složeniji problem. Maksimalna vrednost indukcije ima se u samom centru konture i iznosi

$$B_{max} = \frac{\mu_0 I}{2a}.$$

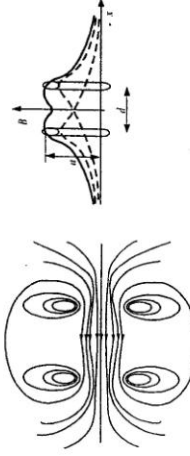


Slika 2.6

Dijagram na slici 2.6 predstavlja zavisnost intenziteta indukcije u tačkama ordinate x preko osi navojava.

Na osnovu rezultata (2.11) može se neposredno napisati izraz za magnetsku indukciju u tačkama ose x a koja potiče od dve identične, oktačijalno postavljene strujne na rastojanju d duž ose (slika 2.8). Intenzitet struje u konturama je I , a njihov početak stavi na sredini rastojanja između kontura, onda je

$$B = \frac{\mu_0 I}{2} \left\{ \frac{a^2}{(a^2 + (x + d/2))^2} + \frac{a^2}{(a^2 + (x - d/2))^2} \right\}.$$

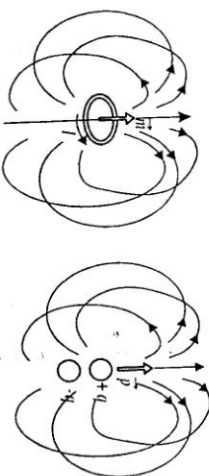


Slika 2.8

3.2. 2. Magnetno polje stacionarne struje u vakuumu

Projekcije vektora magnetske indukcije, pa prema tome i sam vektor, zavise isključivo od magnetnog momenta strujne konture. Pri tome treba podsetiti da u slučaju ravne strujne konture koničnih dimenzija (postavljene upravo na z -osu u koordinatnom početku) izrazi (2.17) i (2.18) važe samo na odstojanjima koja su mnogo veća od poduznih dimentacija konture. Očigledno je, međutim, da oni važe i za elementarnu strujnu konturu pri istim uslovima.

Ako se izrazi (2.19) uporede sa izrazima za sferne projekcije električnog polja električnog dipola (1.6-7), tako je uvideti da su oni u matematičkom pogledu identični a razlikuju se samo u slovnim simbolima. Da bi se dobila i potpuna formalna identičnost treba zameniti B sa E , ϵ_0 sa $1/\mu_0$ i magnetni moment m sa električnim momentom p . Očigledno je da su i spektri linija polja u okolini elementarne strujne konture i u okolini električnog dipola isti. Spektri linija polja za strujnu konturu i dipol su uporedno prikazani na slici 2.11.



Slika 2.11

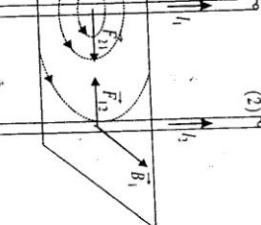
Kao što je već ranije rečeno, magnetni moment strujne konture je vektorska veličina, definisana kao

$$\vec{m} = I\vec{S},$$

gde je \vec{S} vektor površine konture čiji je pozitivan smer određen po pravilu desne zavojnica u odnosu na smer struje u konturi. Ova veličina u potpunosti određuje magnetno polje nešto u odnosu na smer struje u konturi. Ova veličina u potpunosti određuje magnetno polje elementarne strujne konture, a, kao što je pokazano u odeljku 1.3, određuje i moment elektromagnetskih sila kojim strano magnetsko polje dejstvuje na konturu.

+ 2.4. Elektromagnetna sila između dva prava paralelna provodnika sa strujom Definicija apsolutnog ampera i magnetna permeabilnost vakuuma

Pošmatratemo dva prava, neograničena i paralelna provodnika sa strujom, koji se nalaze na rastojanju d (slika 2.12). Prepoštućemo da su struje u oba provodnika, I_1 i I_2 , isog smera. Magnetno polje struje I_1 u tačkama na osi provodnika (2) je upravo na ravni što je obrazuju ose dva provodnika, a magnetska indukcija ima intenzitet



Slika 2.12

odnosno

$$F_{12} = \frac{\mu_0}{2\pi} \frac{I_1 I_2}{d}. \quad (2.20)$$

Sila je upravljena na provodnik (2) i orijentisana je ka provodniku (1).

Na potpuno analogan način se može izračunati sila kojom provodnik (2) dejstvuje na odsekac provodnika (1). Lako je pokazati da je po apsolutnoj vrednosti $F_{21} = F_{12} = F$ i da je sila F_{21} orijentisana ka provodniku (2). Drugim rečima, kada su struje u oba provodnika istog smera, sila imaju privlačen karakter i teže da smanje rastojanje d . Ako se smer struje u jednom od provodnika pomeri, pomerenje se i smer sila i ove će po karakteru postati odbijeno.

Kada su struje u oba provodnika istog intenziteta onda je sila međusobnog dejstva na dužini l

$$F = \frac{\mu_0}{2\pi} \frac{l^2}{d}. \quad (2.21)$$

Kao što je već rečeno u §1.D.2.1 i 1.I.4, jedinica jačine struje u MKSA sistemu (SI), t.zv. apsolutni amper, je definisana na osnovu elektromagnetske sile međusobnog

